

# 二重ベータ崩壊核行列要素と中性子一陽子対相関

日野原 伸生

筑波大学計算科学研究センター

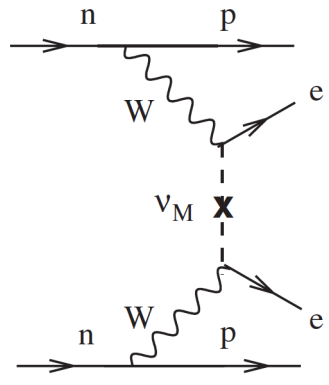
NH and Engel, Phys. Rev. C 105, 044314 (2022)

Oct. 3, 2022

二重ベータ崩壊各行列要素実験理論合同研究会



# ニュートリノレス二重 $\beta$ 崩壊



Avignone et al., Rev. Mod. Phys. 80, 481 (2008)

- ニュートリノはマヨラナ粒子か？
- ニュートリノの質量階層は？



ニュートリノレス二重ベータ崩壊( $0\nu\beta\beta$ )  
(light-neutrino exchange)

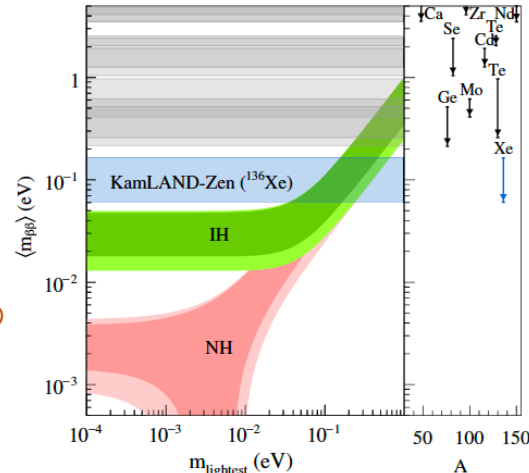
$0\nu\beta\beta$  半減期

$$(T_{1/2}^{0\nu})^{-1} = G_{0\nu}(Q_{\beta\beta}, Z) |M_{0\nu}|^2 \langle m_{\beta\beta} \rangle^2$$

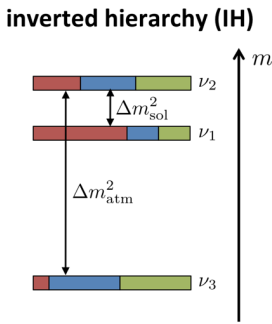
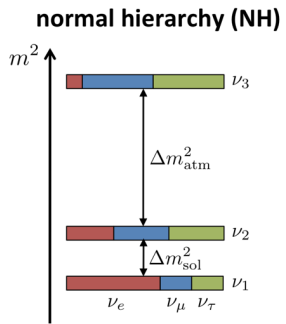
原子核行列要素(NME)

位相空間因子

電子ニュートリノの  
有効質量



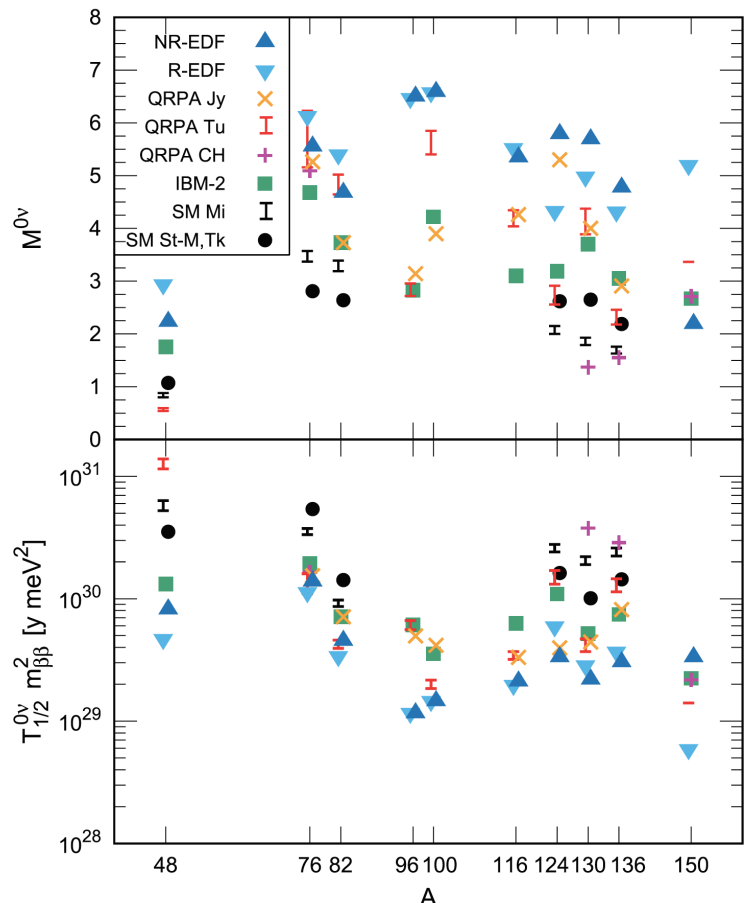
Gando et al., Phys. Rev. Lett. 117, 082503 (2016)



JUNO collaboration

測定される半減期からニュートリノの質量を出すためには  
位相空間因子と原子核行列要素の理論値が必要

# 原子核行列要素



色々な原子核構造理論による計算

EDF: 原子核密度汎関数に基づく生成座標法(GCM)計算

QRPA: 準粒子乱雑位相近似

IBM: 相互作用するボソン模型

SM: シェル模型

QRPA CH: ノースカロライナ大グループによる  
原子核密度汎関数に基づくQRPA計算

# proton-neutron QRPA

平均場近似：一般化されたSlater行列式で基底状態を表現

$a^+$  : 平均ポテンシャルの軌道

$$|\Phi\rangle = \hat{a}_{n1}^\dagger \hat{a}_{n2}^\dagger \cdots \hat{a}_{nN}^\dagger \hat{a}_{p1}^\dagger \hat{a}_{p2}^\dagger \cdots \hat{a}_{pZ}^\dagger |0\rangle$$

相関を入れた基底状態  $|\Phi'\rangle = \exp \left[ \frac{1}{2} \sum_{ijkl} Z_{ijkl} \hat{a}_{pi}^\dagger \hat{a}_{nj}^\dagger \hat{a}_{pk} \hat{a}_{nl} \right] |\Phi\rangle$



平均場近似を超えた相関が入っている

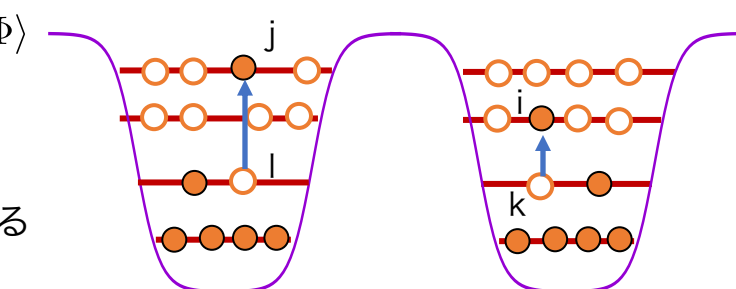


中間状態核も計算できる

$$|\Phi_n(N-1, Z+1)\rangle = \sum_{ij} X_{ij}^n \hat{a}_{pi}^\dagger \hat{a}_{nj} |\Phi'(N, Z)\rangle,$$

$$|\Phi_n(N-1, Z+1)\rangle = \sum_{ij} X_{ij}^n \hat{a}_{pi} \hat{a}_{nj}^\dagger |\Phi'(N-2, Z+2)\rangle$$

中性子



陽子

# 準粒子乱雑位相近似(QRPA)

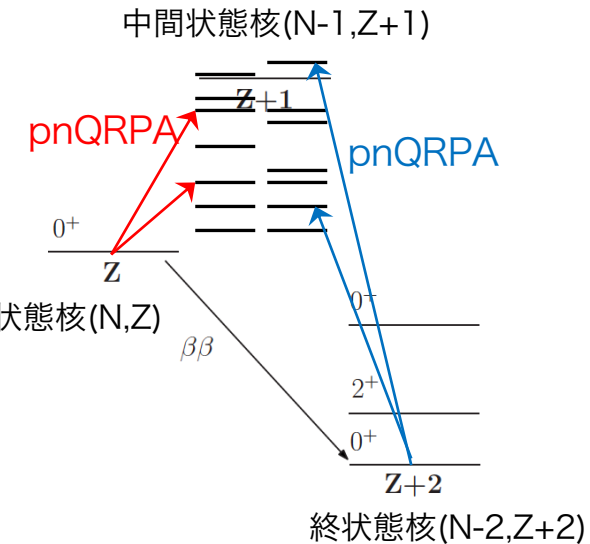
## 二重ベータ崩壊への応用

$$M_{0\nu}^F = \langle f | \sum_{ab} H(r_{ab}, \bar{E}) \tau_a^- \tau_b^- | i \rangle$$

$$M_{0\nu}^{GT} = \langle f | \sum_{ab} H(r_{ab}, \bar{E}) \vec{\sigma}_a \cdot \vec{\sigma}_b \tau_a^- \tau_b^- | i \rangle$$

$$M_{0\nu}^F = \sum_{abn_i n_f} H(r_{ab}, \bar{E}) \langle f | \tau_a^- | n_f \rangle \langle n_f | n_i \rangle \langle n_i | \tau_b^- | i \rangle$$

$$M_{0\nu}^{GT} = \sum_{abn_i n_f} H(r_{ab}, \bar{E}) \langle f | \vec{\sigma}_a \tau_a^- | n_f \rangle \langle n_f | n_i \rangle \langle n_i | \vec{\sigma}_b \tau_b^- | i \rangle$$



- 中間状態を始状態、終状態それぞれからpnQRPAで作る
- 中間状態への仮想的な励起をすべて足し上げる
- 2つの中間状態は(近似が入ってるので)異なる：マッチングが必要
- 平均場近似を超えた相関(中性子-陽子相関)を入れた原子核行列要素計算

# 中性子一陽子対相関とは

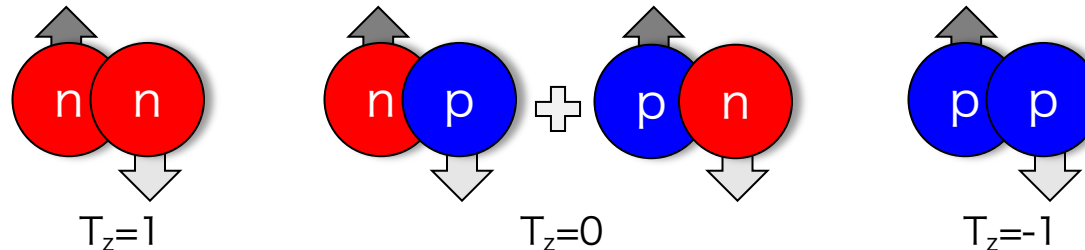
中性子・陽子(アイソスピン $T=1/2$ ,スピン $S=1/2$ のフェルミ粒子系)

2粒子の入れ替えに対して全波動関数は反対称：空間(対称)・スピン・アイソスピン

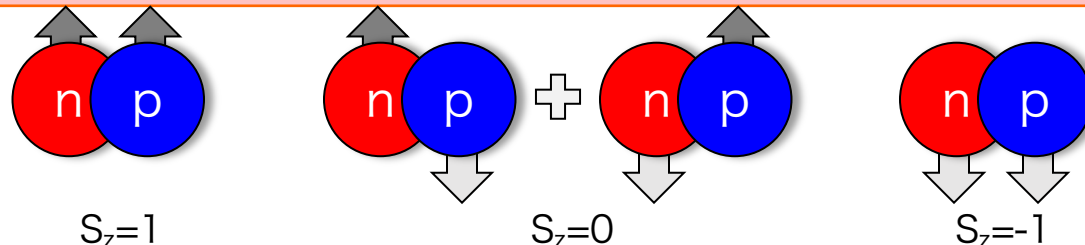
スピン：反対称

アイソスピン：対称

アイソベクトル型( $T=1, S=0$ )対相関 → フェルミ行列要素を抑制



アイソスカラー型( $T=0, S=1$ )対相関 → ガモフテラー行列要素を抑制

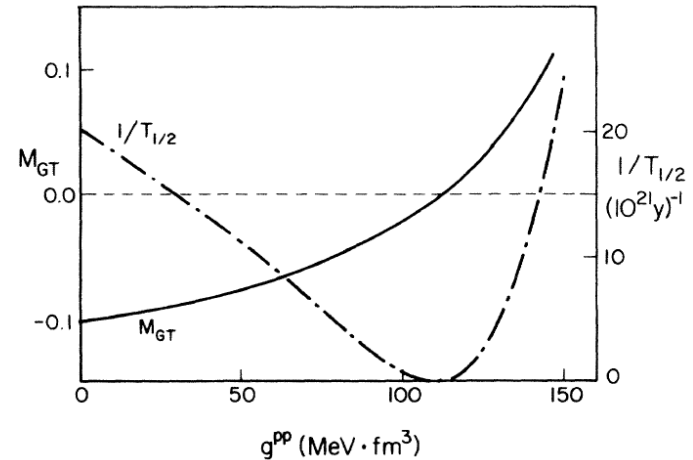


- 同種粒子対相関以外は基底状態の実験量で決められない
- $N=Z$ 近傍では中性子一陽子対凝縮の議論あり

# pnQRPA計算例

## アイソスカラー中性子一陽子対相関依存性

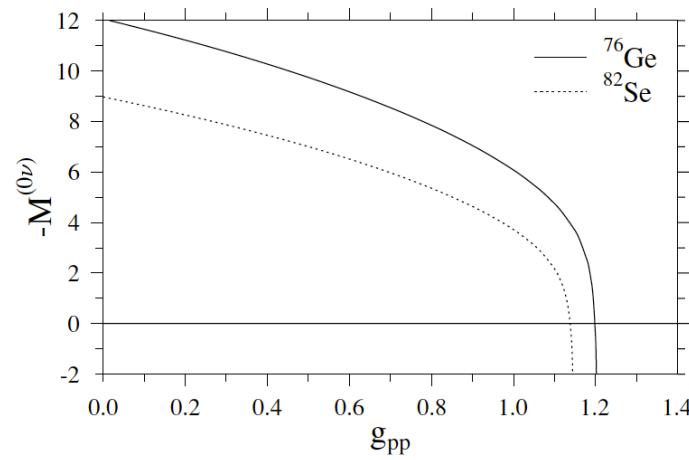
2v $\beta\beta$



Vogel and Zirnbauer Phys. Rev. Lett. **57**, 3148 (1986)

$g_{pp}$ :アイソスカラー型対相関の強さ

0v $\beta\beta$



Kortelainen and Suhonen, Phys. Rev. C **75**, 051303(2007)

- アイソスカラー型対相関で行列要素は強く抑制される
- 対相関を強くしすぎると計算が破綻(平均場の中性子一陽子対凝縮相への相転移)

# pnQRPAの最近の計算例

$g_{pp}^{T=1}$ : 2v Fermiの行列要素がゼロになるように調整  
(アイソスピン対称性の回復)

$g_{pp}^{T=0}$ : 2v $\beta\beta$ の半減期を2vGT行列要素が再現するように調整

Tuebingen

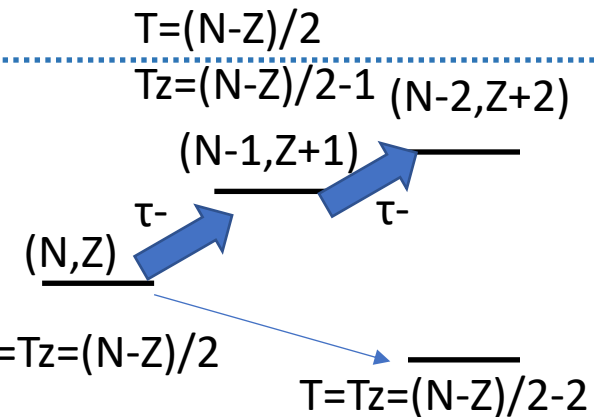
Fang et al., Phys. Rev. C 97, 045503 (2018)

| AV18              |           |                           |                     |                     |                |                     |
|-------------------|-----------|---------------------------|---------------------|---------------------|----------------|---------------------|
|                   | $\beta_2$ | $i \langle 0 0 \rangle_f$ | $g_p^{\text{pair}}$ | $g_n^{\text{pair}}$ | $g_{pp}^{T=1}$ | $g_{pp}^{T=0}(1.0)$ |
| $^{76}\text{Ge}$  | 0.24      | 0.72                      | 1.07                | 1.12                | 1.24           | 0.80                |
| $^{76}\text{Se}$  | 0.28      |                           | 1.22                | 1.18                |                | 0.85                |
| $^{82}\text{Se}$  | 0.16      | 0.71                      | 0.94                | 1.21                | 1.21           | 0.78                |
| $^{82}\text{Kr}$  | 0.18      |                           | 1.13                | 1.22                |                | 0.83                |
| $^{130}\text{Te}$ | 0.12      | 0.73                      | 1.02                | 1.07                | 1.14           | 0.77                |
| $^{130}\text{Xe}$ | 0.16      |                           | 1.07                | 1.10                |                | 0.79                |
| $^{136}\text{Xe}$ | 0.08      | 0.43                      | 0.91                | —                   | 1.10           | 0.65                |
| $^{136}\text{Ba}$ | 0.11      |                           | 1.00                | 1.10                |                | 0.71                |
| $^{150}\text{Nd}$ | 0.24      | 0.51                      | 1.03                | 1.14                | 1.16           | 0.81                |
| $^{150}\text{Sm}$ | 0.15      |                           | 1.04                | 1.16                |                | 0.85                |

Jyvaskyla

Hyvarinen and Jouni Suhonen, Phys. Rev. C 91, 024613 (2015)

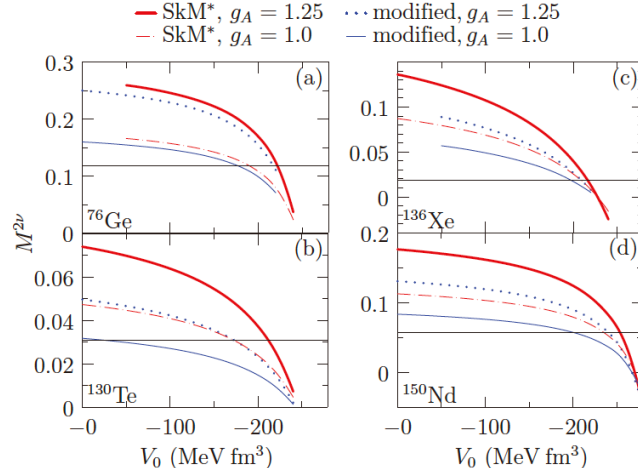
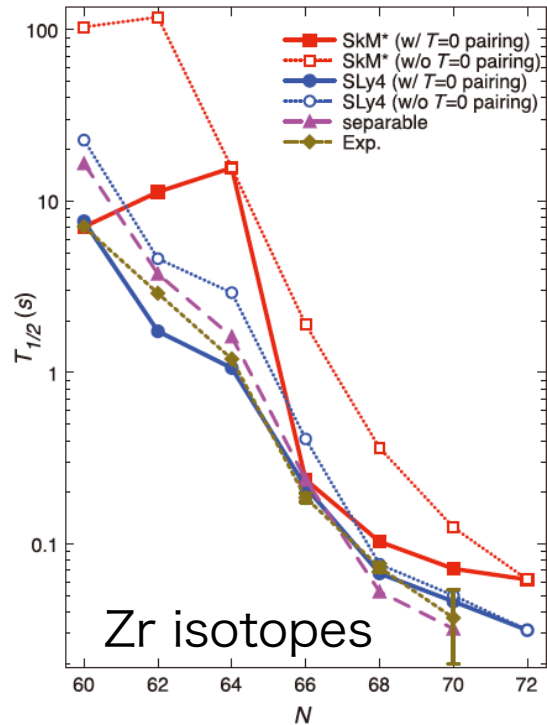
| Nucleus           | $\langle g_{\text{pair}} \rangle$ | $g_{pp}^{T=1}$ | $g_{pp}^{T=0}(g_A = 1.00)$ | $g_{pp}^{T=0}(g_A = 1.26)$ |
|-------------------|-----------------------------------|----------------|----------------------------|----------------------------|
| $^{76}\text{Ge}$  | 1.10                              | 1.12           | 1.02                       | 1.06                       |
| $^{82}\text{Se}$  | 1.00                              | 1.01           | 0.96                       | 1.00                       |
| $^{96}\text{Zr}$  | 0.965                             | 1.07           | 1.06                       | 1.11                       |
| $^{100}\text{Mo}$ | 1.09                              | 1.11           | 1.07                       | 1.09                       |
| $^{110}\text{Pd}$ | 1.03                              | 1.11           | 0.93                       | 1.02                       |
| $^{116}\text{Cd}$ | 1.01                              | 0.86           | 0.98                       | 1.01                       |
| $^{124}\text{Sn}$ | 0.923                             | 0.94           | 0.79                       | 0.91                       |
| $^{128}\text{Te}$ | 0.955                             | 0.98           | 0.89                       | 0.92                       |
| $^{130}\text{Te}$ | 0.940                             | 0.98           | 0.84                       | 0.90                       |
| $^{136}\text{Xe}$ | 0.930                             | 1.00           | 0.77                       | 0.80                       |



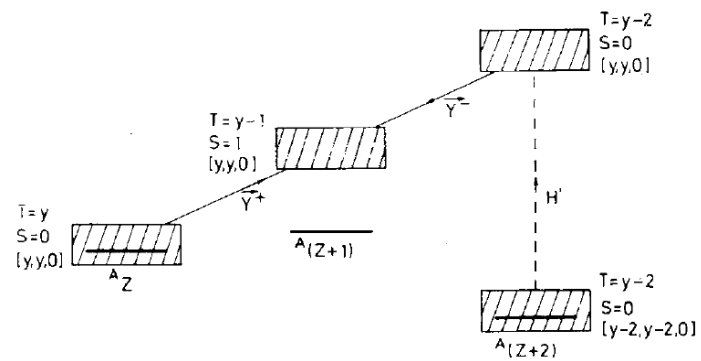
# $g_{pp}^{T=0}$ とベータ崩壊・二重ベータ崩壊

Yoshida, PTEP 2013, 113D02 (2013)

Mustonen and Engel, Phys. Rev. C 87, 064302 (2013)



Bernabeu et al., Z. Phys. C 46, 232 (1990)



SU(4)対称性(スピン↔アイソスピン):  $g_{pp}^{T=0} \sim g_{pp}^{T=1}$   
 SU(4)対称でベータ崩壊の強度大、二重ベータ崩壊(2vGT closure)はゼロ

# EDF

- エネルギー密度汎関数(EDF)が存在し、これを最小化することで基底状態の密度が求まる(Hohenberg-Kohn)
- 全原子核を原理的には1つのEDFで記述可能
- EDFは現象論的に決定。 Skyrme型(局所密度)、 Gogny型(非局所密度)、 共変型(相対論)
- 例えばSkyrme型では

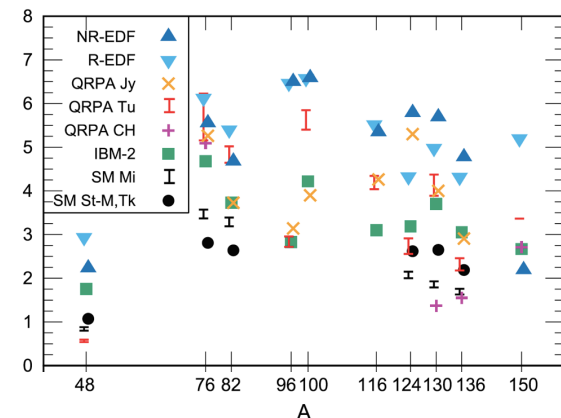
$$E[\rho, \tilde{\rho}] = \int d\mathbf{r} [\mathcal{E}_{\text{kin}}(\mathbf{r}) + \chi_0(\mathbf{r}) + \chi_1(\mathbf{r}) + \tilde{\chi}(\mathbf{r}) + \mathcal{E}_{\text{Coul}}(\mathbf{r})]$$

ph相互作用項

$$\chi_t(\mathbf{r}) = C_t^\rho [\rho_t]^2 + C_t^\tau \rho_t \tau_t + C_t^J J_t^2 + C_t^{\Delta\rho} \rho_t \Delta \rho_t + C_t^{\nabla J} \rho_t \nabla \cdot \mathbf{J}_t$$

同種粒子対相關

$$\tilde{\chi}(\mathbf{r}) = \sum_{q=n,p} \tilde{C}_t \left[ 1 - \eta \frac{\rho_0(\mathbf{r})}{\rho_c} \right] |\tilde{\rho}_q(\mathbf{r})|^2$$



# EDF+QRPA

proton-neutronチャネルでのみ効くEDF

Mustonen and Engel, Phys. Rev. C 93, 014304 (2016)

アイソベクトルtime-odd項

$$\chi_1^{\text{odd}}(\mathbf{r}) = C_1^s[\rho_0] \mathbf{s}_1^2 + C_1^{\Delta s} \mathbf{s}_1 \cdot \Delta \mathbf{s}_1 + C_1^j \mathbf{j}_1^2 + C_1^T \mathbf{s}_1 \cdot \mathbf{T}_1 + C_1^{s\nabla j} \mathbf{s}_1 \cdot \nabla \times \mathbf{j}_1 + C_1^F \mathbf{s}_1 \cdot \mathbf{F}_1 + C_1^{\nabla s} (\nabla \cdot \mathbf{s}_1)^2$$

アイソスカラー中性子一陽子対相関( $\eta=0.5$ )

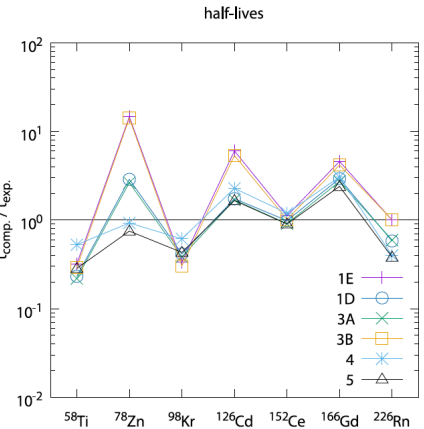
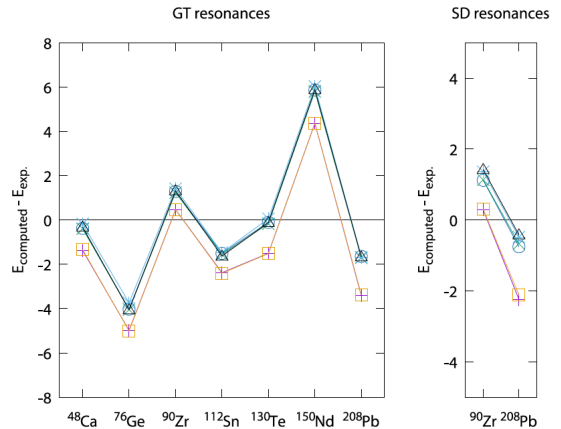
$$\tilde{\chi}_0(\mathbf{r}) = \frac{V_0}{4} \left[ 1 - \eta \frac{\rho_0(\mathbf{r})}{\rho_c} \right] |\tilde{s}_0(\mathbf{r})|^2$$

| Set | GT resonances  | SD resonances                        | $\beta$ -decay half-lives   |
|-----|--|--------------------------------------|---|
| A   | $^{208}\text{Pb}$ , $^{112}\text{Sn}$ , $^{76}\text{Ge}$ , $^{130}\text{Te}$ , $^{90}\text{Zr}$ , $^{48}\text{Ca}$ | None                                 | $^{48}\text{Ar}$ , $^{60}\text{Cr}$ , $^{72}\text{Ni}$ , $^{82}\text{Zn}$ , $^{92}\text{Kr}$ , $^{102}\text{Sr}$ , $^{114}\text{Ru}$ , $^{126}\text{Cd}$ , $^{134}\text{Sn}$ , $^{148}\text{Ba}$  |
| B   | Same as A  | None                                 | $^{52}\text{Ti}$ , $^{74}\text{Zn}$ , $^{92}\text{Sr}$ , $^{114}\text{Pd}$ , $^{134}\text{Te}$ , $^{156}\text{Sm}$ , $^{180}\text{Yb}$ , $^{200}\text{Pt}$ , $^{226}\text{Rn}$ , $^{242}\text{U}$ |
| C   | Same as A  | None                                 | $^{52}\text{Ti}$ , $^{72}\text{Ni}$ , $^{92}\text{Sr}$ , $^{114}\text{Ru}$ , $^{134}\text{Te}$ , $^{156}\text{Nd}$ , $^{180}\text{Yb}$ , $^{204}\text{Pt}$ , $^{226}\text{Rn}$ , $^{242}\text{U}$ |
| D   | Those of A and $^{150}\text{Nd}$   | None                                 | $^{58}\text{Ti}$ , $^{78}\text{Zn}$ , $^{98}\text{Kr}$ , $^{126}\text{Cd}$ , $^{152}\text{Ce}$ , $^{166}\text{Gd}$ , $^{204}\text{Pt}$  |
| E   | Same as D  | $^{90}\text{Zr}$ , $^{208}\text{Pb}$ | $^{58}\text{Ti}$ , $^{78}\text{Zn}$ , $^{98}\text{Kr}$ , $^{126}\text{Cd}$ , $^{152}\text{Ce}$ , $^{166}\text{Gd}$ , $^{226}\text{Rn}$  |

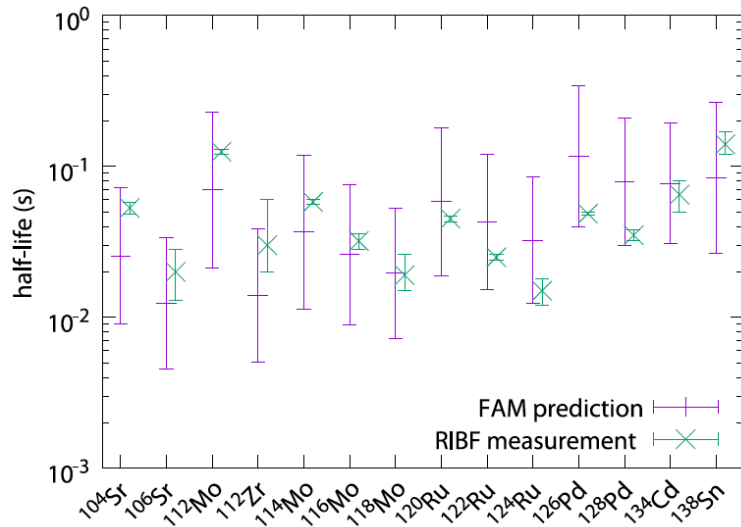
| Fit | Starting point | Target set | $Q$ values | fitted parameters  |
|-----|----------------|------------|------------|--|
| 1A  | SkO'           | A          | Comp.      | $V_0 = -173.176$ , $C_1^s = 128.279$   |
| 1B  | SkO'           | B          | Comp.      | $V_0 = -176.614$ , $C_1^s = 133.038$   |
| 1C  | SkO'           | C          | Comp.      | $V_0 = -176.097$ , $C_1^s = 126.966$   |
| 1D  | SkO'           | E          | Comp.      | $V_0 = -209.384$ , $C_1^s = 129.297$   |
| 1E  | SkO'           | E          | Exp.       | $V_0 = -159.397$ , $C_1^s = 99.8479$   |
| 2   | SV-min         | D          | Comp.      | $V_0 = -165.567$ , $C_1^s = 132.271$   |
| 3A  | SkO'           | E          | Comp.      | $V_0 = -195.174$ , $C_1^s = 144.833$ , $C_1^T = -20.1618$ , $C_1^F = -10.3125$ |
| 3B  | SkO'           | E          | Exp.       | $V_0 = -165.158$ , $C_1^s = 120.27$ , $C_1^T = -17.7435$ , $C_1^F = -17.9902$  |
| 4   | Fit 3A         | E          | Comp.      | $C_1^j = 54.5$ , $C_1^{s\nabla j} = -78.7965$ , $C_1^{\nabla s} = -87.5$       |
| 5   | SkO'           | E          | Comp.      | $V_0 = -191.875$ , $C_1^s = 146.182$ , $C_1^j = -86.4276$                      |

V1~250 MeV fm<sup>3</sup>

## fitした量の実験値との比較



## $\beta$ 崩壊半減期のprediction



# fitに用いた実験値と結合定数の相関

Mustonen and Engel, Phys. Rev. C 93, 014304 (2016)

| $\mathcal{O}$                     | $d\mathcal{O}/dC_1^s$ | $d\mathcal{O}/dV_0$ | $d\mathcal{O}/dC_1^F$ | $d\mathcal{O}/dC_1^T$ | $d\mathcal{O}/dC_1^{Vs}$ | $d\mathcal{O}/dC_1^{\Delta s}$ | $d\mathcal{O}/dC_1^J$ | $d\mathcal{O}/dC_1^{VJ}$ |
|-----------------------------------|-----------------------|---------------------|-----------------------|-----------------------|--------------------------|--------------------------------|-----------------------|--------------------------|
| $^{208}\text{Pb } E_{\text{GTR}}$ | 57.261                | -0.000              | 2.434                 | 5.869                 | 0.429                    | -1.002                         | 0.000                 | 0.143                    |
| $^{112}\text{Sn } E_{\text{GTR}}$ | 29.498                | -1.032              | 1.432                 | 2.863                 | 0.286                    | -0.573                         | 0.000                 | 0.000                    |
| $^{76}\text{Ge } E_{\text{GTR}}$  | 45.115                | -7.225              | 2.004                 | 4.295                 | 0.429                    | -1.145                         | 0.000                 | 0.000                    |
| $^{130}\text{Te } E_{\text{GTR}}$ | 53.790                | -3.096              | 2.434                 | 5.297                 | 0.429                    | -1.002                         | 0.143                 | 0.000                    |
| $^{90}\text{Zr } E_{\text{GTR}}$  | 29.498                | -1.032              | 1.288                 | 2.720                 | 0.429                    | -1.002                         | -0.143                | 0.143                    |
| $^{48}\text{Ca } E_{\text{GTR}}$  | 32.968                | -0.000              | 1.432                 | 3.149                 | 0.573                    | -1.288                         | 0.000                 | 0.000                    |
| $^{208}\text{Pb } E_{\text{SDR}}$ | 52.055                | -0.000              | 2.291                 | 4.008                 | 0.286                    | -1.575                         | -0.143                | -0.143                   |
| $^{90}\text{Zr } E_{\text{SDR}}$  | 29.498                | -0.000              | 1.575                 | 2.004                 | 0.286                    | -1.432                         | -0.286                | -0.143                   |
| $^{58}\text{Ti } \log_{10} t$     | 4.749                 | -4.318              | 0.203                 | 0.445                 | 0.045                    | -0.109                         | -0.011                | -0.002                   |
| $^{78}\text{Zn } \log_{10} t$     | 6.889                 | -2.922              | 0.256                 | 0.589                 | 0.164                    | -0.382                         | 0.253                 | -0.025                   |
| $^{98}\text{Kr } \log_{10} t$     | 5.410                 | -3.252              | 0.265                 | 0.559                 | 0.050                    | -0.116                         | -0.012                | -0.003                   |
| $^{126}\text{Cd } \log_{10} t$    | 5.583                 | -4.641              | 0.252                 | 0.496                 | 0.017                    | -0.050                         | 0.001                 | 0.007                    |
| $^{152}\text{Ce } \log_{10} t$    | 5.409                 | -2.474              | 0.293                 | 0.540                 | 0.051                    | -0.120                         | 0.003                 | -0.009                   |
| $^{166}\text{Gd } \log_{10} t$    | 5.081                 | -2.924              | 0.250                 | 0.497                 | 0.035                    | -0.132                         | -0.007                | -0.010                   |
| $^{204}\text{Pt } \log_{10} t$    | 3.755                 | -3.340              | -0.015                | 0.160                 | -0.018                   | -0.316                         | -0.076                | 0.026                    |

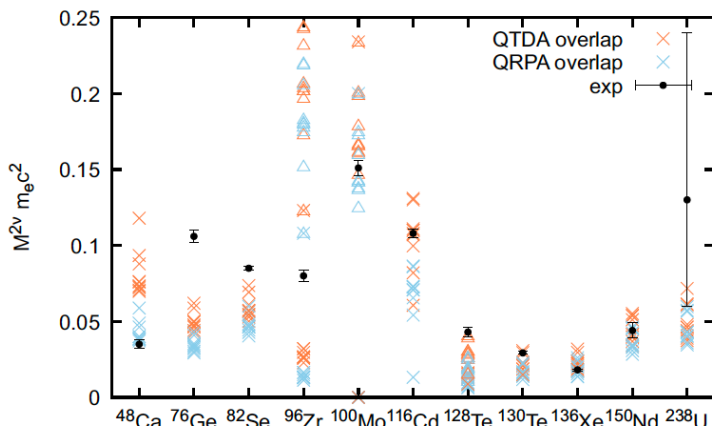
この実験データから決められるのは  
 $C_1^s$ (アイソベクトルスピン相互作用)と $V_0$ (アイソスカラー対相関強度)のみ

# QRPAによる $2\nu\beta\beta$ 行列要素の予言

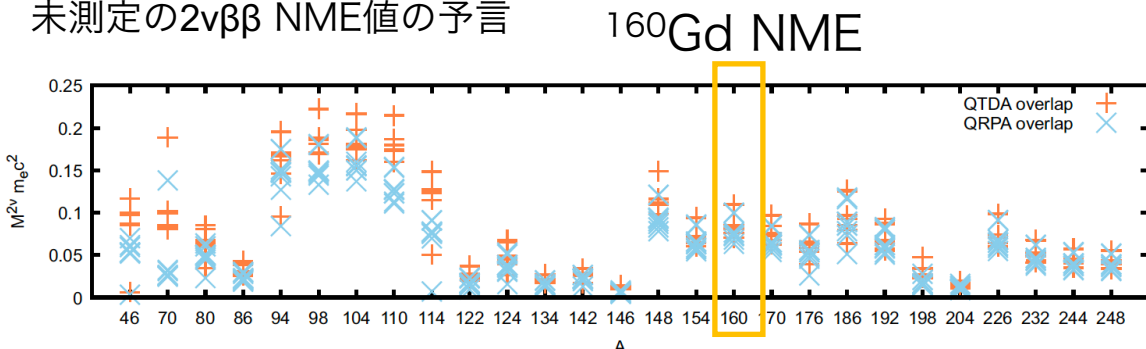
NH and Engel, Phys. Rev. C 105, 044314 (2022)

- $\beta$ 崩壊の半減期で  $g_{pp}$  を合わせた EDF による QRPA 計算 →  $2\nu\beta\beta$  NME 値の予言が可能

## $2\nu\beta\beta$ NME の実験値との比較



## 未測定の $2\nu\beta\beta$ NME 値の予言



$^{160}\text{Gd}$  の NME: 以前の予言値  $0.0455 \text{ MeV}^{-1}$  (Hirsch et al., PRC66(2002))  
QRPA(EDF):  $0.12 - 0.21 \text{ MeV}^{-1}$  → PIKACHU 実験

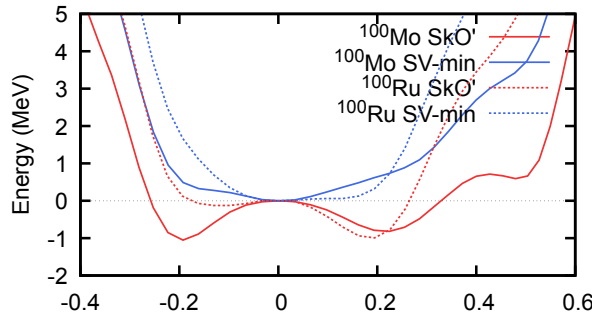
$A > 130$  では EDF 依存性が少ない

# EDF+QRPA計算のまとめ・展望

- 同一の相互作用で全原子核の計算が可能
- $\beta$ 崩壊の半減期で  $V_0(g_{pp})$  を合わせた EDF による  $2\nu\beta\beta$  の QRPA 計算
- Gamow-Teller、Spin-dipole、 $\beta$  崩壊では 2 つの結合定数 ( $C_1^s, V_0$ ) の決定が可能
- $0\nu\beta\beta$ ・二重電子捕獲(ECEC)の行列要素計算
- アイソベクトル time-odd の他の結合定数の決定は難しい。アイソスカラ一対相関部分は？

$$\begin{aligned}\tilde{\chi}_0(\mathbf{r}) = & \tilde{C}_0^s |\tilde{s}_0|^2 + \tilde{C}_0^{\Delta s} \operatorname{Re}(\tilde{s}_0^* \cdot \Delta \tilde{s}_0) + \tilde{C}_0^T \operatorname{Re}(\tilde{s}_0^* \cdot \tilde{\mathbf{T}}_0) + \tilde{C}_0^j |\tilde{j}_0|^2 \\ & + \tilde{C}_0^{\nabla j} \operatorname{Re}[\tilde{s}_0^* \cdot (\nabla \times \tilde{j}_0)] + \tilde{C}_0^{\nabla s} |\nabla \cdot \tilde{s}_0|^2 + \tilde{C}_0^F \operatorname{Re}(\tilde{s}_0^* \cdot \tilde{\mathbf{F}}_0)\end{aligned}$$

- QRPA 近似の問題。始状態と終状態があまりに異なると近似が破綻



$\text{SkO}'$  最低エネルギー状態  $^{100}\text{Mo}$ (始状態) : オブレート変形 ( $\beta < 0$ )  
 $^{100}\text{Ru}$ (終状態) : プロレート変形 ( $\beta > 0$ )

